

UNIVERSIDADE FEDERAL DO AMAZONAS  
PRO REITORIA DE PESQUISA E PÓS-GRADUAÇÃO  
DEPARTAMENTO DE APOIO A PESQUISA  
PROGRAMA INSTITUCIONAL DE INICIAÇÃO CIENTÍFICA

ESTIMAÇÃO BAYESIANA EM MODELOS DE REGRESSÃO ASSIMÉTRICOS

Bolsista: Vanessa Souza dos Santos, CNPq

MANAUS  
2011

UNIVERSIDADE FEDERAL DO AMAZONAS  
PRÓ-REITORIA DE PESQUISA E PÓS-GRADUAÇÃO  
DEPARTAMENTO DE APOIO À PESQUISA  
PROGRAMA INSTITUCIONAL DE INICIAÇÃO CIENTÍFICA

RELATÓRIO ~~INICIAL~~ FINAL  
PIB-E/0001/2010  
ESTIMAÇÃO BAYESIANA EM MODELOS DE REGRESSÃO ASSIMÉTRICOS

Bolsista: Vanessa Souza dos Santos, CNPq  
Orientador: Prof. Dr. Celso Rômulo Barbosa Cabral

MANAUS  
2011

## Resumo

Neste trabalho apresentam-se extensões do modelo de regressão linear clássico com erros de observação normais, substituindo-se a hipótese de normalidade por uma mais flexível, onde assume-se uma distribuição que estende a distribuição normal, incorporando assimetria e caudas pesadas. Para fazer inferência em torno dos parâmetros, utiliza-se a metodologia Bayesiana. Um exemplo com dados reais é apresentado, mostrando a superioridade da metodologia proposta.

**Palavras chave.** distribuição normal assimétrica; distribuição t de Student assimétrica; MCMC; modelos de regressão.

# Conteúdo

<b>1</b>	<b>Introdução</b>	<b>5</b>
<b>2</b>	<b>Revisão Bibliográfica</b>	<b>6</b>
2.1	Modelos Normal e t Assimétricos . . . . .	6
2.2	Inferência Bayesiana . . . . .	8
<b>3</b>	<b>Métodos Utilizados</b>	<b>9</b>
3.1	Estimação via Algoritmo de Gibbs . . . . .	9
3.2	Os Modelos de Regressão com Erros Normais e t Assimétricos . . . . .	9
<b>4</b>	<b>Resultados e Discussões</b>	<b>13</b>
4.1	Apresentação dos Dados . . . . .	13
4.2	Ajuste para o Modelo Normal . . . . .	14
4.3	Ajuste para os Modelos Normal Assimétrico e t-Assimétrico . . . . .	15
4.4	Ajuste para os Modelos Bayesianos Normal, Normal Assimétricos e t-Assimétricos . . . . .	19
<b>5</b>	<b>Conclusões</b>	<b>21</b>
<b>6</b>	<b>Apêndice</b>	<b>22</b>

# 1 Introdução

Neste trabalho apresentam-se extensões do modelo de regressão linear clássico com erros de observação normais, substituindo-se a hipótese de normalidade por uma mais flexível.

Suponhamos que para a  $i$ -ésima unidade amostral tenhamos valores fixados  $x_{i1}, x_{i2}, \dots, x_{i(p-1)}$  de  $p-1$  variáveis regressoras ( $p > 1$ ) e observamos o valor de uma variável resposta  $Y_i$ ,  $i = 1, \dots, n$ ,  $p < n$ . A seguir temos a definição clássica do modelo de regressão linear.

**Definição 1.** *O Modelo de Regressão Linear Múltipla é definido por observações independentes  $Y_1, \dots, Y_n$  tais que*

$$Y_i = \beta_0 + \beta_1 x_{i1} + \beta_2 x_{i2} + \dots + \beta_{(p-1)} x_{i(p-1)} + \epsilon_i, \quad \epsilon_i \sim N(0, \sigma^2), \quad i = 1, \dots, n.$$

e  $\sigma^2 > 0$ .

A suposição de normalidade dos erros de observação  $\epsilon_i$  pode não ser realizável na prática. Existem muitas situações onde temos claramente um comportamento de assimetria ou de observações discrepantes, que não é capturado pelo modelo normal. Isto ocorre, por exemplo, em dados da área econômica, em dados de sobrevivência e em confiabilidade de sistemas.

Apesar de vários autores terem apresentados extensões de forma implícita, o trabalho que é considerado como o marco inicial na pesquisa de distribuições assimétricas estendendo a normal é o de [Azzalini \(1985\)](#).

A proposta inicial deste trabalho é apresentar algumas extensões do modelo de regressão linear normal, substituindo a hipótese de normalidade pela de normalidade assimétrica. Depois, pretende-se também incorporar a possibilidade de modelar observações aberrantes, utilizando-se uma extensão assimétrica da distribuição t de Student ver, por exemplo, [Branco & Dey \(2001\)](#).

## 2 Revisão Bibliográfica

Nesta seção apresentaremos o modelo normal assimétrico e a inferência do mesmo no contexto Bayesiano.

### 2.1 Modelos Normal e t Assimétricos

**Definição 2.** (Azzalini, 1985) Dizemos que uma variável aleatória  $Z$  tem distribuição normal assimétrica padrão com parâmetro de assimetria  $\lambda \in \mathbb{R}$ , denotado por  $Z \sim SN(\lambda)$ , se sua densidade é dada por

$$g(z | \lambda) = 2\phi(z)\Phi(z)$$

em que  $\phi(\cdot)$  e  $\Phi(\cdot)$  são funções de densidade e a função de probabilidade acumulada da normal simétrica padrão, respectivamente.

**Definição 3.** Uma variável aleatória  $Y$  tem distribuição normal assimétrica com parâmetros de locação  $\xi \in \mathbb{R}$ , escala  $\sigma > 0$  e assimetria  $\lambda \in \mathbb{R}$ , se  $Y$  é dada pela transformação

$$Y = \xi + \sigma Z$$

onde  $Z \sim SN(\lambda)$ .

Dessa forma, a densidade de  $Y$  é dada por

$$f(Y | \xi, \sigma, \lambda) = \frac{2}{\sigma} \phi\left(\frac{y - \xi}{\sigma}\right) \Phi\left(\lambda \frac{y - \xi}{\sigma}\right). \quad (1)$$

A Figura 1 ilustra várias curvas da função densidade da distribuição normal assimétrica para os parâmetros  $\xi = 50$ ,  $\sigma = 10$ , e  $\lambda = \{-5, 0, 1, 3, 5\}$ . Nota-se que as curvas tomam formas diferentes ao mudar o valor de  $\lambda$ . Para  $\lambda = 0$  retorna para a curva da função densidade de uma normal simétrica.

O teorema a seguir é uma representação estocástica para uma variável aleatória com distribuição normal assimétrica, sendo muito útil para fazermos inferência e também para gerarmos amostras. A demonstração pode ser encontrada em Henze (1986).

**Teorema 1.** Se  $T_0$  e  $T_1$  são variáveis aleatórias independentes com distribuição normal simétrica padrão e  $\delta \in (-1, 1)$  e

$$Y = \xi + \sigma\delta|T_0| + \sigma(1 - \delta^2)T_1,$$

então  $Y \sim SN(\xi, \sigma^2, \lambda)$ , onde  $\lambda = \delta/\sqrt{1 - \delta^2}$ .

Considerando a reparametrização

$$\omega^2 = \sigma^2(1 - \delta^2), \quad \Delta = \sigma\delta, \quad \delta = \frac{\lambda}{\sqrt{1 + \lambda^2}} \quad \text{e} \quad \lambda = \frac{\Delta}{\omega},$$

temos o seguinte resultado, que é consequência imediata do anterior

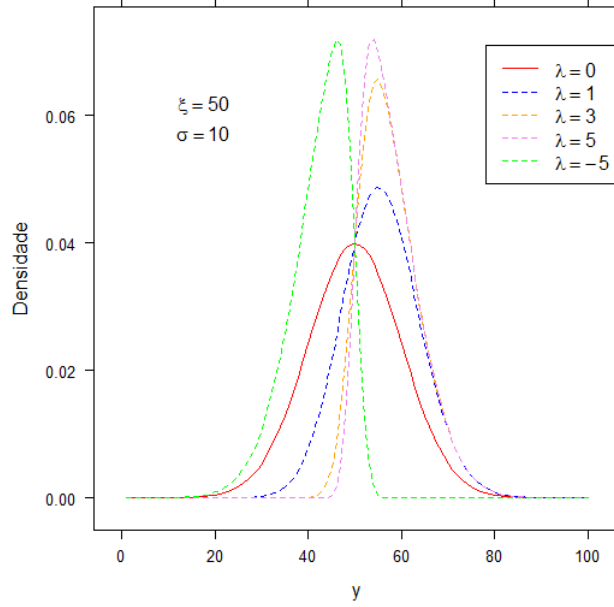


Figura 1: Densidade Normal Assimétrica

**Teorema 2.** *Se uma variável aleatória  $Y$  tem distribuição normal assimétrica com parâmetro de locação  $\xi$ , de assimetria  $\Delta$  e de dispersão  $\omega^2$ , então existe uma variável aleatória  $T \sim HN(0; 1)$ , tal que*

$$Y \mid T = t \sim N(\xi + \Delta t, \omega^2).$$

A notação  $HN$  neste contexto significa distribuição Half Normal no intervalo  $(0, \infty)$ .

Agora será apresentada a versão assimétrica da distribuição  $t$  de Student que será usada neste trabalho.  $G(a, b)$  denota a distribuição Gamma com média  $a/b$ .

**Definição 4.** *Sejam  $X \sim SN(0, \sigma^2, \lambda)$  e  $S \sim G(\nu/2, \nu/2)$  variáveis aleatórias independentes. Seja  $\xi \in \mathbb{R}$ . Dizemos que a distribuição de  $Y = \xi + S^{-1/2}X$  é  $t$  de Student assimétrica com parâmetro de locação  $\xi$ , parâmetro de escala  $\sigma$ , parâmetro de assimetria (ou de forma)  $\lambda$  e  $\nu$  graus de liberdade.*

Denotamos por  $Y \sim ST(\xi, \sigma^2, \lambda, \nu)$ . A  $t$  assimétrica admite uma representação estocástica dada pelo seguinte teorema

**Teorema 3.** *Seja  $Y \sim ST(\xi, \sigma^2, \lambda, \nu)$ . Então  $Y$  admite a seguinte representação estocástica*

$$Y \mid T = t, S = s \sim N(\xi + \Delta t, s^{-1}\omega^2), \quad T \mid S = s \sim HN(0, s^{-1}), \quad S \sim G(\nu/2, \nu/2).$$

Os teoremas apresentados nesta seção serão fundamentais para obter o algoritmo de estimação dos parâmetros no modelo de regressão assimétrico.

## 2.2 Inferência Bayesiana

Na inferência Bayesiana, os parâmetros desconhecidos são considerados variáveis aleatórias, assumindo distribuições de probabilidade fixadas a priori. No modelo normal assimétrico, pretende-se estimar no máximo três parâmetros desconhecidos, que são representados por  $\theta = (\xi, \omega^2, \Delta)$ . Suponha uma suposição inicial (ou crença) em relação à distribuição de  $\theta$ ,  $\pi(\theta)$ , e seja  $(Y_1, Y_2, \dots, Y_n)$  uma amostra aleatória observada de uma variável aleatória  $Y$  com densidade  $f(Y|\theta)$ .

O objetivo é proceder inferência Bayesiana para o vetor de parâmetros  $\theta \in \Theta$ , onde  $\Theta$  é o espaço paramétrico, ou seja

$$\pi(\theta|Y) = \frac{L(Y|\theta)\pi(\theta)}{\pi(Y)}$$

onde  $\pi(\theta|Y)$ ,  $L(Y|\theta)$  e  $\pi(\theta)$  que estão em função de  $\theta$  definem a *posteriori* de  $\theta$ , a função de máxima verossimilhança e a densidade da distribuição *priori* de  $\theta$ , respectivamente. A densidade  $\pi(Y)$ , que não depende de  $\theta$ , é a densidade marginal de  $Y$  e, portanto, a *posteriori* de  $\theta$  é resumida por

$$\pi(\theta|Y) \propto \pi(Y|\theta)\pi(\theta).$$

Essa relação, mais conhecida como método de Bayes, nos resultará em uma distribuição para  $\theta$  dado  $Y$ . A distribuição *priori* é obtida antes da observações dos dados, por meio de investigações passadas, ou pela própria experiência do pesquisador.

Para o modelo normal assimétrico, considera-se como *prioris* independentes  $\xi$ ,  $\omega^2$  e  $\Delta$ , com distribuições  $N(a, b^2)$ ,  $N(c, d^2)$  e  $Gama(e, f)$ , respectivamente. Então, a densidade conjunta para  $\theta$  será

$$\pi(\theta) = \pi(\xi|a, b^2)\pi(\Delta|c, d^2)\pi(\psi|e, f)$$

em que os parâmetros  $a$ ,  $b$ ,  $c$ ,  $d$  e  $e$  são fixos e  $\psi = 1/\omega^2$ <sup>1</sup>.

Dessa forma, para o modelo normal assimétrico (1), obtemos

$$\pi(\theta|Y) \propto \pi(\xi|a, b^2)\pi(\Delta|c, d^2)\pi(\psi|e, f) \prod_{i=1}^n SN(Y_i|\xi, \omega^2, \Delta)$$

Nota-se que a solução para encontrar a *posteriori* para o modelo normal assimétrico é mais complicado, por haver métodos algébricos com manipulações complexas.

---

<sup>1</sup> $\psi$  é a precisão



## 3 Métodos Utilizados

### 3.1 Estimação via Algoritmo de Gibbs

Para um modelo normal assimétrico, quando queremos estimar cada parâmetro isoladamente, devemos encontrar uma distribuição marginal para estes parâmetros, por exemplo, para estimar  $\xi$ , podemos encontrar a integral da forma

$$E(\xi|Y) = \int \xi f(\xi|Y) d\xi$$

Note que a solução analítica da integral acima pode ser extremamente complicada. Em geral recorreremos a integração de Monte Carlo, mais especificamente, aos algoritmos do tipo MCMC (Markov Chain Monte Carlo). O algoritmo MCMC mais popular é o algoritmo de Gibbs, que gera amostras da *posteriori* a partir das distribuições condicionais completas conhecidas, que será mostrado com mais detalhes ainda na próxima seção. Para gerar amostras independentes, devemos criar uma cadeia de Markov estacionária, isto é a probabilidade de que no estágio  $i$  assumir um valor  $\theta_{(i)}$ , saberemos que no estágio  $i+1$  a probabilidade da cadeia assumir  $\theta_{(i+1)}$  no mesmo espaço paramétrico.

### 3.2 Os Modelos de Regressão com Erros Normais e t Assimétricos

A extensão do modelo de regressão será baseada na representação estocástica no Teorema 2.

**Definição 5.** O Modelo de Regressão Linear Normal Assimétrico é definido por

$$Y_i|\boldsymbol{\beta}, \omega^2, \Delta, T_i = t_i \sim N(\xi_i + \Delta t_i, \omega^2), \quad T_i \sim HN(0, 1), \quad i = 1, \dots, n,$$

onde  $Y_i$  são variáveis aleatórias que representam respostas a serem observadas em um indivíduo  $i$ ,  $\xi_i = \mathbf{x}'_i \boldsymbol{\beta}$ ,  $\mathbf{x}_i = (1, x_{i1}, \dots, x_{i(p-1)})'$  é um vetor com valores de  $p-1$  regressores para o indivíduo  $i$ ,  $\omega^2$  e  $\Delta$  são parâmetros desconhecidos regulando dispersão e assimetria, respectivamente, e  $\boldsymbol{\beta} = (\beta_0, \beta_1, \dots, \beta_{p-1})'$  é um vetor de parâmetros desconhecidos. Além disso,  $Y_1, \dots, Y_n$  são condicionalmente independentes dados os valores dos parâmetros, variáveis latentes e regressores.

É claro que, marginalmente, temos que  $Y_i \sim SN(\mathbf{x}'_i \boldsymbol{\beta}, \sigma^2, \alpha)$ ,  $i = 1, \dots, n$ , onde  $\alpha = \Delta/\omega$  e  $\sigma^2 = \omega^2 + \Delta^2$ . Assim, utilizando a definição 3,

$$Y_i = \mathbf{x}'_i \boldsymbol{\beta} + \epsilon_i, \quad \epsilon_i \sim SN(0, \sigma^2, \alpha), \quad i = 1, \dots, n,$$

que é uma extensão natural do modelo de regressão linear clássico.

Para fazermos estimação dos parâmetros no modelo, precisamos fazer a especificação das distribuições a priori. Vamos assumir que

$$\boldsymbol{\beta} \sim N_p(\mathbf{a}, \mathbf{A}), \quad \Delta \sim N(b, c^2), \quad \psi = 1/\omega^2 \sim \text{Gamma}(d, e), \quad (2)$$

onde  $\mathbf{a} : p \times 1$ ,  $\mathbf{A} : p \times p$  (positiva definida),  $b \in \mathbb{R}$ ,  $c > 0$ ,  $d > 0$  e  $e > 0$  são todos fixados. Como anteriormente, assume-se que os parâmetros são a priori independentes. O procedimento algébrico para obter um algoritmo do tipo Gibbs para gerar amostras da distribuição posterior é tão simples como antes, com pequenas diferenças no que se refere à distribuição condicional completa para  $\boldsymbol{\beta}$ . Vamos obtê-la então.

Primeiramente, defina  $\mathbf{y} = (y_1, \dots, y_n)'$ ,  $\mathbf{t} = (t_1, \dots, t_n)'$ . Além disso, definamos a chamada *matriz de planejamento*, denotada por  $\mathbf{X}$ , em analogia ao que é feito na teoria de regressão tradicional, ou seja, a  $i$ -ésima linha de  $\mathbf{X}$  é  $\mathbf{x}'_i$ ,  $i = 1, \dots, n$ .

Assim,

$$\begin{aligned} \pi(\boldsymbol{\beta}|\mathbf{y}, \mathbf{t}, \Delta, \psi) &\propto \pi(\mathbf{y}|\boldsymbol{\beta}, \mathbf{t}, \Delta, \psi)\pi(\boldsymbol{\beta}) \\ &\propto \exp\left\{-\frac{\psi}{2}\sum_{i=1}^n(y_i - \mathbf{x}'_i\boldsymbol{\beta} - \Delta t_i)^2\right\} \exp\left\{-\frac{1}{2}(\boldsymbol{\beta} - \mathbf{a})'\mathbf{A}^{-1}(\boldsymbol{\beta} - \mathbf{a})\right\} \\ &= \exp\left\{-\frac{\psi}{2}(\mathbf{y} - \mathbf{X}\boldsymbol{\beta} - \Delta\mathbf{t})'(\mathbf{y} - \mathbf{X}\boldsymbol{\beta} - \Delta\mathbf{t})\right\} \exp\left\{-\frac{1}{2}(\boldsymbol{\beta} - \mathbf{a})'\mathbf{A}^{-1}(\boldsymbol{\beta} - \mathbf{a})\right\} \\ &\propto \exp\left\{-\frac{\psi}{2}[-2\boldsymbol{\beta}'\mathbf{X}'(\mathbf{y} - \Delta\mathbf{t}) + \boldsymbol{\beta}'\mathbf{X}'\mathbf{X}\boldsymbol{\beta}]\right\} \exp\left\{-\frac{1}{2}[-2\boldsymbol{\beta}'\mathbf{A}^{-1}\mathbf{a} + \boldsymbol{\beta}'\mathbf{A}^{-1}\boldsymbol{\beta}]\right\} \\ &= \exp\left\{-\frac{1}{2}[-2\boldsymbol{\beta}'(\psi\mathbf{X}'(\mathbf{y} - \Delta\mathbf{t}) + \mathbf{A}^{-1}\mathbf{a}) + \boldsymbol{\beta}'(\psi\mathbf{X}'\mathbf{X} + \mathbf{A}^{-1})\boldsymbol{\beta}]\right\} \end{aligned}$$

O Algoritmo de Gibbs para gerar a posteriori para cada parâmetro, são obtidas através dos seguintes passos:

**Passo 1.** Para cada  $i = 1, \dots, n$ , gere  $t_i$  independentemente da distribuição  $\pi(t_i|\boldsymbol{\beta}, \Delta, \psi, \mathbf{t}, \mathbf{y})$ , que é igual a seguinte distribuição

$$HN\left(\frac{\Delta(y_i - \mathbf{x}'_i\boldsymbol{\beta})}{\Delta^2 + \psi^{-1}}, \frac{1}{\psi\Delta^2 + 1}\right).$$

**Passo 2.** Gere amostras de  $\boldsymbol{\beta}$  a partir de da distribuição condicional de  $\boldsymbol{\beta}|\mathbf{y}, \mathbf{t}, \Delta, \psi$ , que é  $N_p(\boldsymbol{\mu}_\beta, \boldsymbol{\Sigma}_\beta)$ , onde

$$\boldsymbol{\Sigma}_\beta = (\psi\mathbf{X}'\mathbf{X} + \mathbf{A}^{-1})^{-1} \quad \text{e} \quad \boldsymbol{\mu}_\beta = \boldsymbol{\Sigma}_\beta [\psi\mathbf{X}'(\mathbf{y} - \Delta\mathbf{t}) + \mathbf{A}^{-1}\mathbf{a}].$$

**Passo 3.** Obtenha uma amostra de  $\Delta$  a partir da distribuição de  $\pi(\Delta|\boldsymbol{\beta}, \psi, \mathbf{t}, \mathbf{y})$ , que é igual a

$$N\left(\frac{c^2\psi\sum_{i=1}^n(y_it_i - \mathbf{x}'_i\boldsymbol{\beta}t_i) + b}{c^2\psi\sum_{i=1}^n t_i^2 + 1}, \frac{c^2}{c^2\psi\sum_{i=1}^n t_i^2 + 1}\right);$$

**Passo 4.** Obtenha uma amostra de  $\psi$  a partir da distribuição de  $\pi(\psi|\boldsymbol{\beta}, \Delta, \mathbf{t}, \mathbf{y})$ , que é igual a

$$\text{Gamma}\left(\frac{n}{2} + d, \frac{1}{2}\sum_{i=1}^n(y_i - \mathbf{x}'_i\boldsymbol{\beta} - \Delta t_i)^2 + e\right);$$

A extensão do modelo de regressão para o caso em que os erros de observação seguem uma distribuição t-assimétrica é imediata, baseada na própria definição da distribuição t-assimétrica e na definição do modelo de regressão normal assimétrica que apresentamos acima. Novamente usamos a parametrização  $\Delta = \sigma\delta$  e  $\omega^2 = \sigma^2(1 - \delta^2)$ , onde  $\delta = \alpha/\sqrt{1 + \alpha^2}$ .

**Definição 6.** O Modelo de Regressão Linear t de Student Assimétrico é definido por

$$Y_i | \boldsymbol{\beta}, \omega^2, \Delta, T_i = t_i, S_i = s_i \sim N(\xi_i + \Delta t_i, s_i^{-1} \omega^2), \quad T_i | S_i = s_i \sim HN(0, s_i^{-1}), \\ S \sim \text{Gamma}(\nu/2, \nu/2),$$

onde  $Y_i$ ,  $i = 1, \dots, n$ , são variáveis aleatórias que representam respostas a serem observadas em um indivíduo  $i$ ,  $\xi_i = \mathbf{x}'_i \boldsymbol{\beta}$ ,  $\mathbf{x}_i = (1, x_{i1}, \dots, x_{i(p-1)})'$  é um vetor com valores de  $p - 1$  regressores para o indivíduo  $i$ ,  $\omega^2$  e  $\Delta$  são parâmetros desconhecidos regulando dispersão e assimetria, respectivamente,  $\boldsymbol{\beta} = (\beta_0, \beta_1, \dots, \beta_{p-1})'$  é um vetor de parâmetros desconhecidos e  $\nu$  é conhecido. Além disso,  $Y_1, \dots, Y_n$  são condicionalmente independentes dados os valores dos parâmetros, variáveis latentes e regressores.

Observe que, analogamente ao que acontece no caso normal assimétrico, temos que  $Y_i \sim ST(\mathbf{x}'_i \boldsymbol{\beta}, \sigma^2, \alpha, \nu)$  onde  $\alpha = \Delta/\omega$  e  $\sigma^2 = \omega^2 + \Delta^2$ . Assim, vem que

$$Y_i = \mathbf{x}'_i \boldsymbol{\beta} + \epsilon_i, \quad i = 1, \dots, n,$$

onde  $\epsilon_i \sim ST(0, \sigma^2, \alpha, \nu)$ . Assim, esta é uma extensão natural do modelo de regressão linear incorporando erros assimétricos e com caudas pesadas.

A especificação das distribuições a priori pode seguir a mesma linha que utilizamos para o caso normal assimétrico. Para obter a distribuição condicional completa, vamos definir  $\mathbf{s} = (s_1, \dots, s_n)'$ . Além disso, vamos considerar  $\mathbf{M} = \text{diag}(\mathbf{s})$ , a matriz diagonal onde a diagonal principal é preenchida pelo vetor  $\mathbf{s}$ . Assim,

$$\begin{aligned} \pi(\boldsymbol{\beta} | \mathbf{y}, \mathbf{t}, \Delta, \psi) &\propto \pi(\mathbf{y} | \boldsymbol{\beta}, \mathbf{t}, \Delta, \psi) \pi(\boldsymbol{\beta}) \\ &\propto \exp \left\{ -\frac{\psi}{2} \sum_{i=1}^n s_i (y_i - \mathbf{x}'_i \boldsymbol{\beta} - \Delta t_i)^2 \right\} \exp \left\{ -\frac{1}{2} (\boldsymbol{\beta} - \mathbf{a})' \mathbf{A}^{-1} (\boldsymbol{\beta} - \mathbf{a}) \right\} \\ &= \exp \left\{ -\frac{\psi}{2} (\mathbf{y} - \mathbf{X} \boldsymbol{\beta} - \Delta \mathbf{t})' \mathbf{M} (\mathbf{y} - \mathbf{X} \boldsymbol{\beta} - \Delta \mathbf{t}) \right\} \exp \left\{ -\frac{1}{2} (\boldsymbol{\beta} - \mathbf{a})' \mathbf{A}^{-1} (\boldsymbol{\beta} - \mathbf{a}) \right\} \\ &\propto \exp \left\{ -\frac{\psi}{2} [-2 \boldsymbol{\beta}' \mathbf{X}' \mathbf{M} (\mathbf{y} - \Delta \mathbf{t}) + \boldsymbol{\beta}' \mathbf{X}' \mathbf{M} \mathbf{X} \boldsymbol{\beta}] \right\} \exp \left\{ -\frac{1}{2} [-2 \boldsymbol{\beta}' \mathbf{A}^{-1} \mathbf{a} + \boldsymbol{\beta}' \mathbf{A}^{-1} \boldsymbol{\beta}] \right\} \\ &= \exp \left\{ -\frac{1}{2} [-2 \boldsymbol{\beta}' (\psi \mathbf{X}' \mathbf{M} (\mathbf{y} - \Delta \mathbf{t}) + \mathbf{A}^{-1} \mathbf{a}) + \boldsymbol{\beta}' (\psi \mathbf{X}' \mathbf{M} \mathbf{X} + \mathbf{A}^{-1}) \boldsymbol{\beta}] \right\} \end{aligned}$$

Para um modelo de regressão t-assimétrico, o algoritmo para gerar a posteriori é:

*Passo 1.* Para cada  $i = 1, \dots, n$ , gere  $t_i$  independentemente da distribuição  $\pi(t_i | \boldsymbol{\beta}, \Delta, \psi, \mathbf{s}, \mathbf{y})$ , que é igual a seguinte distribuição

$$HN \left( \frac{(y_i - \mathbf{x}'_i \boldsymbol{\beta}) \Delta \psi}{1 + \Delta^2 \psi}, \frac{1}{s_i (1 + \Delta^2 \psi)} \right);$$

*Passo 2.* Para cada  $i = 1, \dots, n$ , gere  $s_i$  independentemente da distribuição  $\pi(s_i | \boldsymbol{\beta}, \Delta, \psi, \mathbf{t}, \mathbf{y})$ , que é igual a seguinte distribuição

$$\text{Gamma} \left( \frac{\nu + 2}{2}, \frac{1}{2} \{ \psi [y_i - (\mathbf{x}'_i \boldsymbol{\beta} + \Delta t_i)]^2 + t_i^2 + \nu \} \right);$$

*Passo 3.* Obtenha uma amostra de  $\boldsymbol{\beta}$  a partir da distribuição de  $\pi(\boldsymbol{\beta}|\Delta, \psi, \mathbf{s}, \mathbf{t}, \mathbf{y})$ , que é igual a

$$N_p(\boldsymbol{\Sigma}_\beta [\psi \mathbf{X}' d(\mathbf{S})(\mathbf{y} - \Delta \mathbf{t}) + \mathbf{A}^{-1} \mathbf{a}], (\psi \mathbf{X}' d(\mathbf{S}) \mathbf{X} + \mathbf{A}^{-1})^{-1})$$

*Passo 4.* Obtenha uma amostra de  $\Delta$  a partir da distribuição de  $\pi(\Delta|\boldsymbol{\beta}, \psi, \mathbf{s}, \mathbf{t}, \mathbf{y})$ , que é igual a

$$N\left(\frac{\psi c^2 \sum_{i=1}^n s_i (y_i t_i - \mathbf{x}'_i \boldsymbol{\beta} t_i) + b}{\psi c^2 \sum_{i=1}^n s_i t_i^2 + 1}, \frac{c^2}{\psi c^2 \sum_{i=1}^n s_i t_i^2 + 1}\right)$$

*Passo 5.* Obtenha uma amostra de  $\psi$  a partir da distribuição de  $\pi(\psi|\boldsymbol{\beta}, \Delta, \mathbf{s}, \mathbf{t}, \mathbf{y})$ , que é igual a

$$\text{Gamma}\left(\frac{n + 2d}{2}, \frac{1}{2} \sum_{i=1}^n s_i (y_i - (\mathbf{x}'_i \boldsymbol{\beta} + \Delta t_i))^2 + e\right).$$

## 4 Resultados e Discussões

### 4.1 Apresentação dos Dados

Como aplicação da metodologia proposta aqui, utilizaremos um conjunto de dados citado no texto de Albert (2009). Todos os procedimentos computacionais que aparecem a seguir foram realizados utilizando o software R (R Development Core Team, 2011).

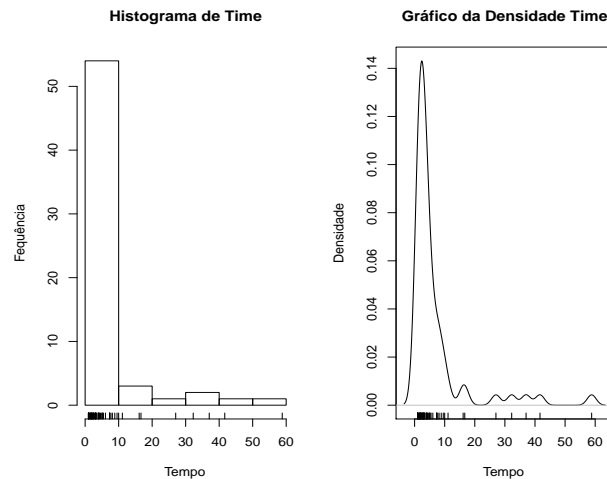


Figura 2: Histograma e densidade de Time.

Este conjunto de dados consiste em medidas feitas em pares de espécies coletadas em 16 ilhas próximas à Grã-Bretanha ao longo de várias décadas. Para cada espécie, o conjunto de dados contém as variáveis:

1. *Time* - tempo médio de extinção na ilha onde a espécie apareceu;
2. *Nesting* - número médio de pares aninhados;
3. *Size* - tamanho da espécie (grande ou pequeno);
4. *Status* - status migratório da espécie (migrantes ou residentes).

O objetivo é estudar o efeito das covariáveis *Nesting*, *Size* e *Status* na variação no tempo de extinção. Espera-se que as espécies com grande número de pares aninhados tenderão a permanecer mais tempo antes de se tornarem extintas.

## 4.2 Ajuste para o Modelo Normal

O modelo a ser ajustado é o seguinte:

$$time_i = \beta_0 + \beta_1 nesting_i + \beta_2 size_i + \beta_3 status_i + \epsilon_i,$$

onde

$\beta_0$  é o intercepto;

$\beta_1$  é o efeito do número de pares aninhados no período de tempo antes da extinção da espécie;

$\beta_2$  é o efeito do tamanho da espécie no período de tempo antes da extinção da espécie;

$\beta_3$  é o efeito do status migratório da espécie no período de tempo antes da extinção da espécie;

$\epsilon_i \sim N(0, \sigma^2)$  é o erro de observação.

Tabela 1: Estimativas para o modelo normal

Coefficientes	Estimativas	Erro	Estatística t	p-valor
$\beta_0$	-0,6276	2,9115	-0,216	0,83008
$\beta_1$	2,1337	0,5173	4,125	0,00012 *
$\beta_2$	-3,9275	2,3435	-1,676	0,09914
$\beta_3$	3,5298	2,568	1,375	0,17456

A Tabela 1 mostra as estimativas de máxima verossimilhança para os parâmetros de regressão linear normal. O ajuste é feito utilizando a função `lm` do R. Nota-se que o efeito do número médio de pares aninhados (*nesting*) é claramente significativo, com p-valor muito pequeno. As outras covariáveis *size* e *status* não apresentaram significância para o modelo.

A relação entre *time* e *nesting* está apresentada na Figura 3, onde não aparenta haver falta de linearidade. A Figura 2 mostra com mais clareza um comportamento assimétrico para a variável resposta *Time*. Além disso, especificamente na curva da densidade, temos caudas pesadas, o que se leva a sugerir um ajuste do modelo t assimétrico para esse dados. As Figuras 4 e 5 também confirmam que há evidências de não normalidade para os erros.

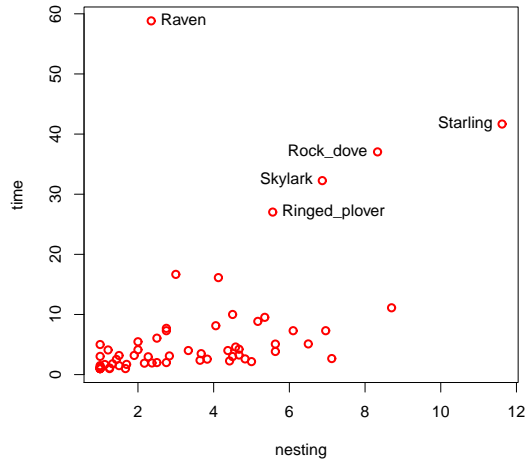


Figura 3: Gráfico de dispersão *Nesting*  $\times$  *Time*.

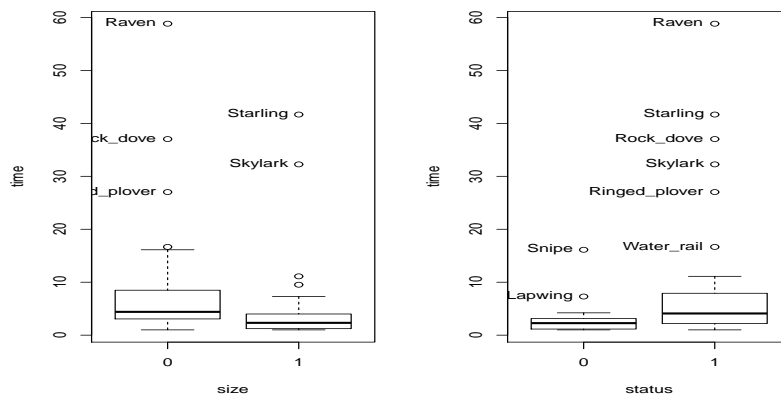


Figura 4: Box-plot size e status.

### 4.3 Ajuste para os Modelos Normal Assimétrico e t-Assimétrico

O Método de estimação por máxima verossimilhança para o modelo normal assimétrico é utilizado para obter as estimativas apresentadas na Tabela 2. Foi utilizada a função `msn.fit`, que faz parte do pacote `sn` do R (Azzalini, 2010). O pacote fornece opções bem conhecidas de algoritmos para maximização da verossimilhança, como *BFGS*, *Nelder–Mead* e *Nlminb*. No entanto, só há convergência no primeiro caso. Porém, analisando a suposição de que os erros seguem distribuição normal assimétrica, as Figuras 6 e 8 mostram que o modelo não está adequado.

Agora, usando o algoritmo de *BFGS*, a Figura 9 mostra que o modelo t-assimétrico está mais adequado. As estimativas dos parâmetros são mostradas na Tabela 3.

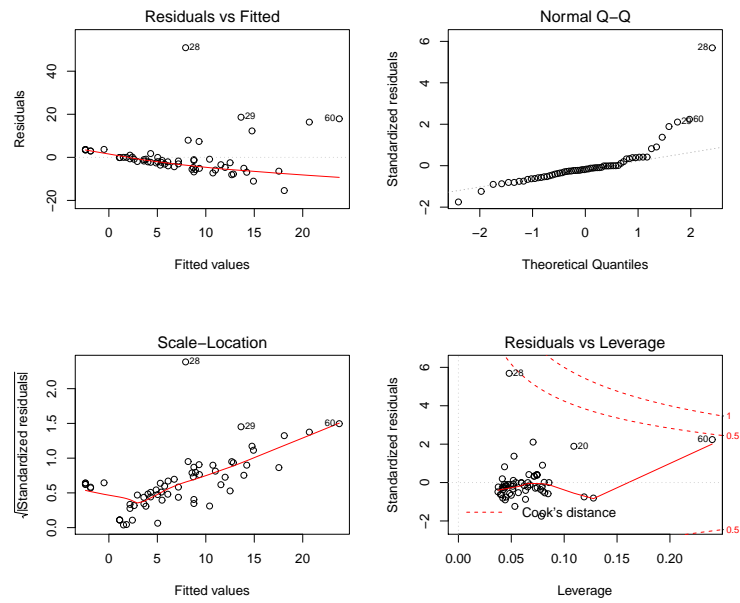


Figura 5: Análise de Resíduos.

Tabela 2: Estimativas para o Modelo Normal Assimétrico

Parâmetros	Nelder-Mead	BFGS	nlminb
$\beta_0$	0,0739	0,3283	0,3870
$\beta_1$	0,2940	0,3105	0,3093
$\beta_2$	-0,3712	0,2172	-0,2262
$\beta_3$	0,3514	0,0828	0,0774
$\sigma^2$	138,5660	135,0096	134,4638
$\lambda$	38,0969	574,2210	592686,3
Convergência	Não	Sim	Não

Tabela 3: Estimativas para o Modelo t-Assimétrico

Parâmetros	Nelder-Mead	BFGS	nlminb
$\beta_0$	1,8733	0,0989	0,6955
$\beta_1$	0,4971	0,5109	0,4818
$\beta_2$	-1,4358	-0,2020	-0,5918
$\beta_3$	0,4253	0,5008	0,34718
$\sigma^2$	0,2965	1,1297	0,8118
$\lambda$	-0,0366	6,6235	3,4756
$\nu$	0,6598	0,7565	0,7241
Convergência	Não	Sim	Sim



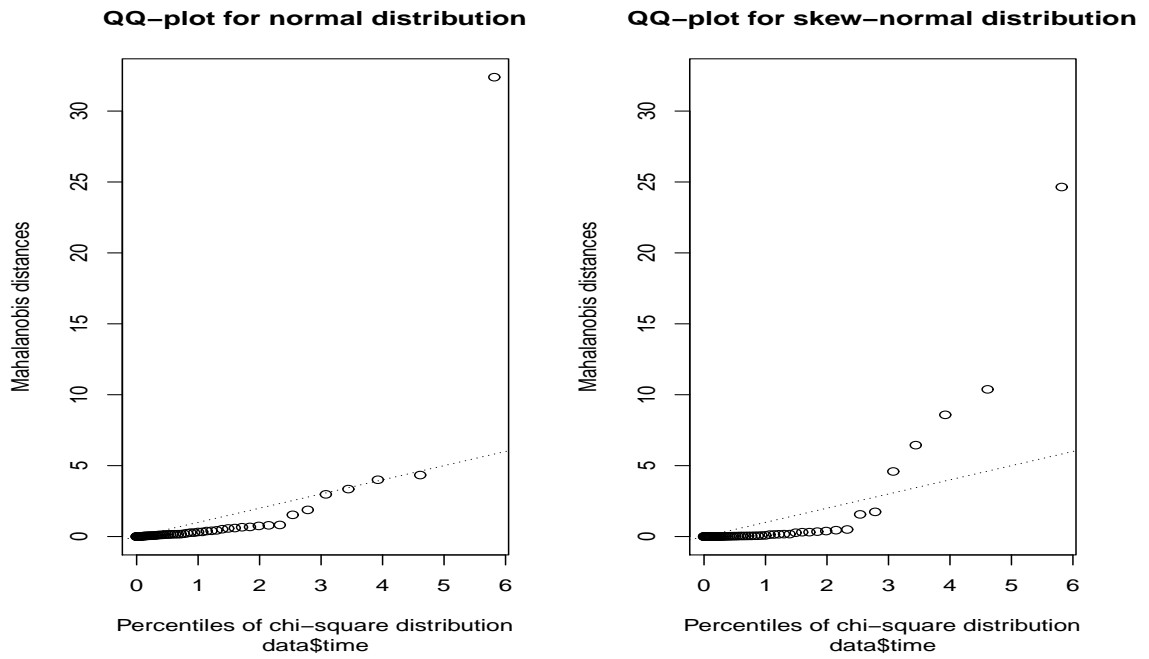


Figura 6: Gráfico Comparativo: QQ-Plot modelos Normal e Normal Assimétrico .

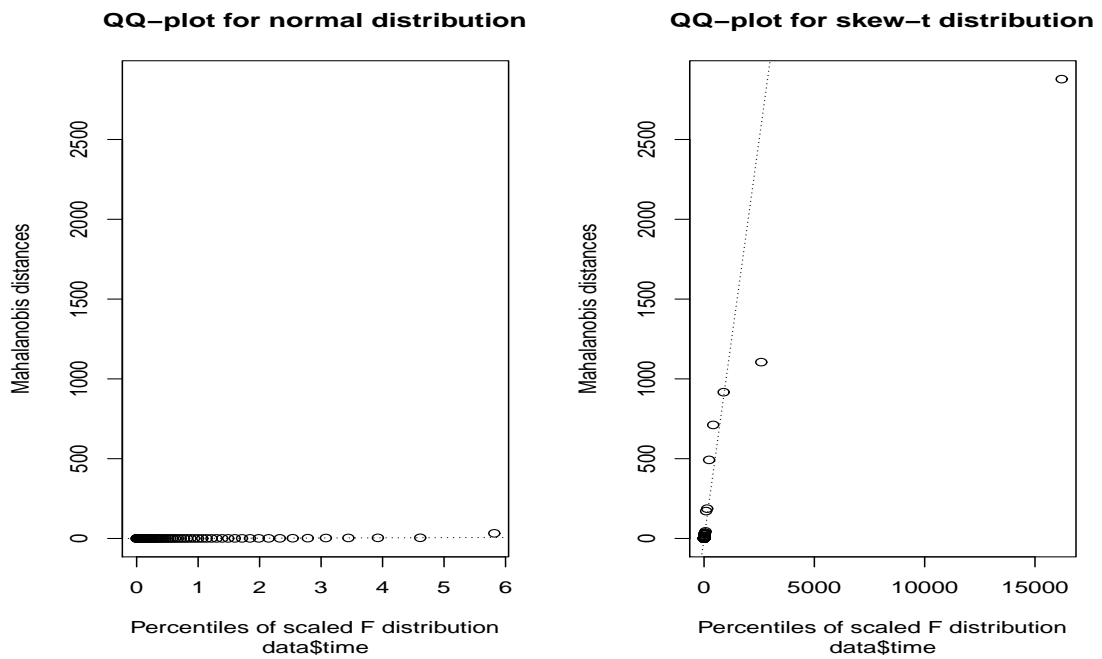


Figura 7: Gráfico Comparativo: QQ-Plot modelos Normal e t-Assimétrico .

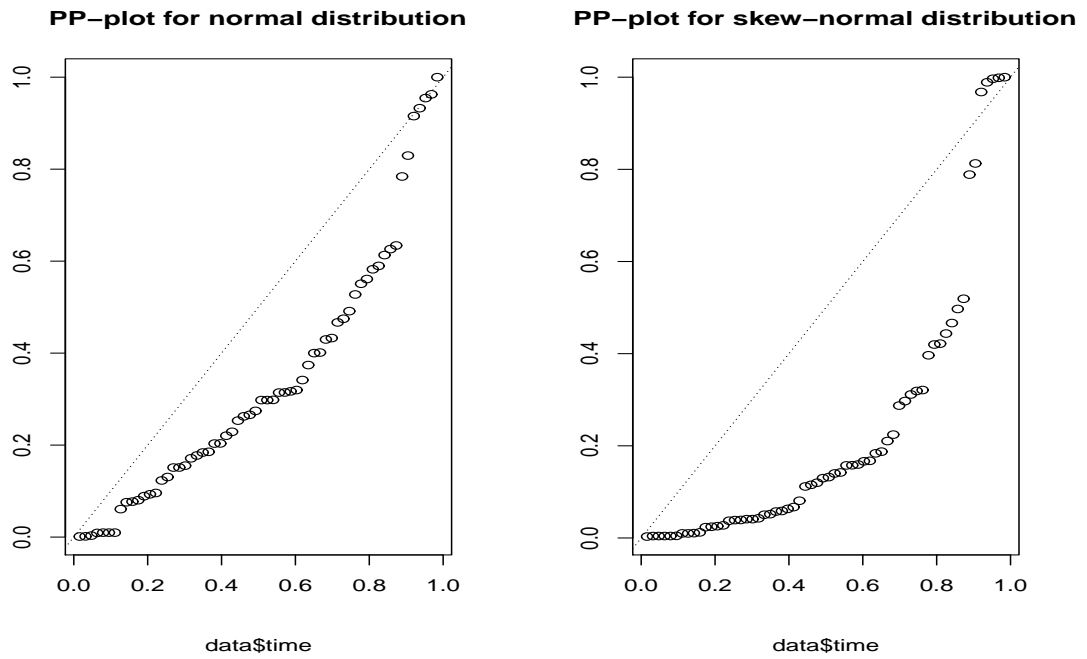


Figura 8: Gráfico Comparativo: PP-Plot modelos Normal e Normal Assimétrico .

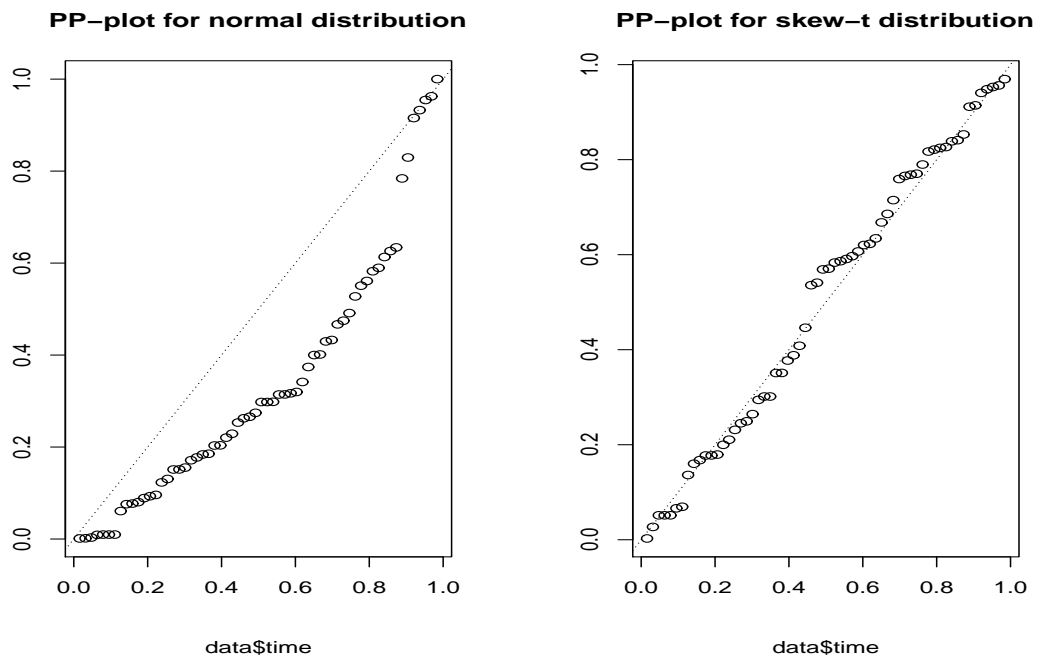


Figura 9: Gráfico Comparativo: PP-Plot modelos Normal e t-Assimétrico .

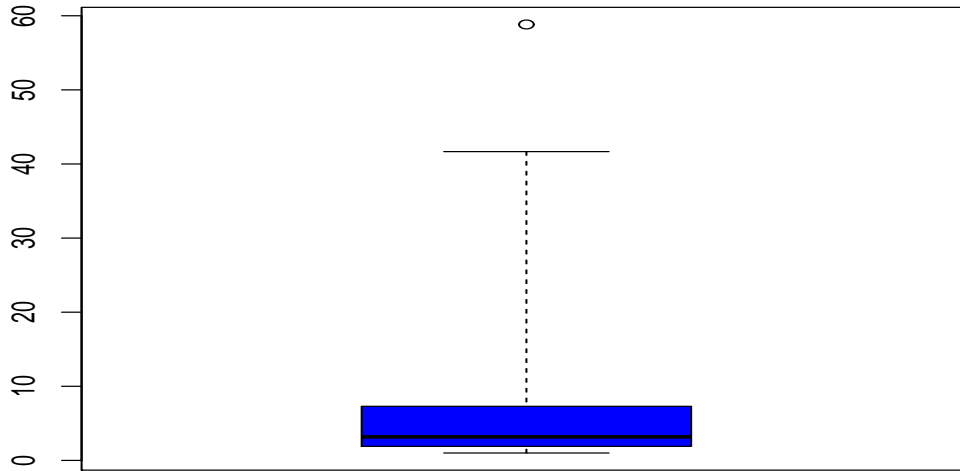


Figura 10: Box Plot - Modelo Normal Assimétrico .

A Figura 10 ilustra um gráfico mais adequado para o conjunto de dados, ao contrário da Figura 4, onde o gráfico do box plot foi construído por métodos convencionais para um modelo de regressão normal, apresentando vários pontos fora dos limites.

#### 4.4 Ajuste para os Modelos Bayesianos Normal, Normal Assimétricos e t-Assimétricos

Como vimos no exemplo acima, a modelagem por máxima verossimilhança pode apresentar muitos problemas como, por exemplo, a existência de múltiplas modas e singularidades. Além disso, pode ser muito complicado obtermos o erro padrão para as estimativas dos parâmetros, já que estes são calculados em função da matriz de informação de Fisher, o que pode exigir amostras muito grandes. Neste sentido, o método Bayesiano mostra-se uma alternativa bastante aceitável.

Para procedermos a análise do mesmo conjunto de dados utilizando metodologia Bayesiana, foi utilizado o software WinBugs, com interface no software R, para gerar 31000 amostras de Gibbs da densidade a posteriori conjunta, como encontrados na seção 3.2, e destas foram descartadas as 1000 primeiras amostras (*“burn-in samples”*) com a finalidade de eliminar o efeito dos valores iniciais usados no algoritmo de simulação. Além disso, foram consideradas as iterações  $5^a$ ,  $10^a$ ,  $15^a$ ,  $\dots$ , resultando uma amostra final de 6000 amostras para cada parâmetro. Foram usados como valores iniciais para parâmetro, valores próximos às estimativas dos parâmetros encontrados na Tabela 3, de acordo com o algoritmo *BFGS*, sendo  $\beta_1 = 0,5$ ,  $\beta_2 = -0,2$ ,  $\beta_3 = 0,5$ ,  $\sigma^2 = 1$  e  $\lambda = 4$ . O número de graus de liberdade foi

fixado em  $\nu = 3$ .

Tabela 4: Estimativas para o modelos Normal e Normal, t assimétrico

Parâmetros	Normal Assimétrico	t-Assimétrico	Normal
$\beta_1$	0,29037	0,3954	2,07072
$\beta_2$	-0,8095	-0,3759	-3,9366
$\beta_3$	0,1343	0,5123	3,0435
$\lambda$	71,9917	17,8047	-
$\sigma^2$	142,4572	11,6722	82,89588
DIC	403,6805	334,9306	454,5675
PD	2,7394	2,1596	3,8248

Para comparar os três modelos ajustados, foram obtidos os respectivos valores do Deviance Information Criterion (DIC), ver Celeux *et al.* (2006). O modelo t-Assimétrico obteve um menor DIC comparado aos outros modelos, isto é, significa que este modelo proporciona um melhor ajuste aos dados, conforme mostrado na Tabela 4. A Figura 11 mostra traceplots para as amostras MCMC geradas para cada parâmetro do modelo t-assimétrico, para as 6000 interações.

Podemos observar que todos os intervalos de credibilidade para os  $\beta$ 's na Tabela 5 contem o zero. Portanto, nenhuma das covariáveis em consideração pode ser tomada como influente para explicar a variabilidade do tempo de extinção. Além disso, vemos que há uma forte componente assimétrica nestes dados, em função do intervalo observado para  $\lambda$ .

Tabela 5: Intervalo de Credibilidade (95%)

Parâmetros	Inferior	Superior
$\beta_1$	-0,5364	0,6807
$\beta_2$	-0,5945	0,6324
$\beta_3$	-0,5716	0,5421
$\sigma^2$	4,4612	20,3230
$\lambda$	11,0728	22,9451

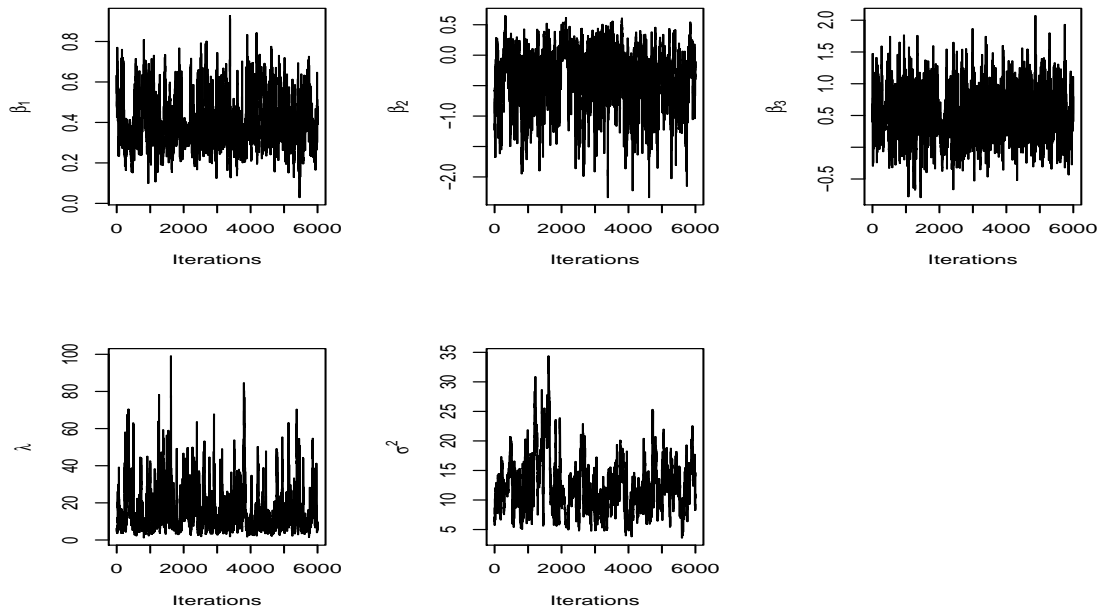


Figura 11: traceplot via Algoritmo do tipo Gibbs para modelo t-assimétrico .

## 5 Conclusões

Este relatório teve por objetivo propor um modelo de regressão, onde os erros seguem distribuições assimétricas, fazendo comparações entre os modelos de regressão normal, normal assimétrico e t assimétrico sob o ponto de vista Bayesiano e Frequentista, de Azzalini (1985).

O esforço principal desse trabalho foi dado no processo de estimação Bayesiana dos parâmetros para os modelos normal, normal assimétrico e t assimétrico via algoritmo de Gibbs, através de condicionais completas fechadas. A preocupação que se teve foi em propor um algoritmo simples de ser implementado em qualquer ambiente de programação e bons aspectos computacionais, podendo ser implementada sem maiores dificuldades com o software R. Portanto, através de toda a metodologia proposta nesse relatório, o modelo mais adequado para o conjunto de dados sobre a extinção de espécies de passáros, foi o modelo de regressão t-assimétrico.

## 6 Apêndice

### Comandos para os Modelos Frequentistas

```
### DADOS ###
data<-read.table("C:\\Users\\VANESSA\\Documents\\PROJETO\\RELATORIO_PIBIC\\birdextinct.r" ,h=T)
##### MODELO FREQUENTISTA #####
size<-factor(data$size)
status<-factor(data$status)
#---dispersão
plot(data$nesting,data$time, col="red", lwd=2,lty=2)
identify(data$nesting,data$time, label=data$species,n=5)

#--- ajuste para o modelo de regressão normal
data.mod<-lm(data$time ~ data$nesting+ data$size+ data$status, data= data,x=TRUE, y= TRUE)
summary(data.mod)

par(mfrow=c(1,2))
hist(time, ylab="Frequência", main="Histograma de Time", xlab="Tempo")
rug(time)
plot(density(time), ylab="Densidade", xlab="Tempo", main="Gráfico da Densidade Time")
rug(time)

#--box plot
par(mfrow=c(1,2))
plot(data$time~data$size, xlab="size", ylab="time")
identify(data$time~data$size, label=data$species)
plot(data$time~data$status, xlab="status", ylab="time")
identify(data$time~data$status, label=data$species)

par(mfrow=c(2,2))
plot(data.mod)

## MODELO FREQUENTISTA ST ##
library(sn)
library(msm)
mod1=mst.fit(X = cbind(rep(1,62),data$nesting, data$size, data$status), y = data$time,
              plot.it = T,algorithm = c("Nelder-Mead"))
mod2=mst.fit(X = cbind(rep(1,62),data$nesting, data$size, data$status), y = data$time,
              plot.it = T,algorithm = c("BFGS"))
mod3=mst.fit(X = cbind(rep(1,62),data$nesting, data$size, data$status), y = data$time,
              plot.it = F)

## MODELO FREQUENTISTA ST ##
modn1=msn.fit(X = cbind(rep(1,62),data$nesting, data$size, data$status), y = data$time,
              plot.it = T,algorithm = c("Nelder-Mead"))
modn2=msn.fit(X = cbind(rep(1,62),data$nesting, data$size, data$status), y = data$time,
              plot.it = T,algorithm = c("BFGS"))
modn3=msn.fit(X = cbind(rep(1,62),data$nesting, data$size, data$status), y = data$time,
              plot.it = T)
```

```

}
\normalsize{
\subsection*{Algoritmo para as Condicionais Completas - Modelo Normal Assimétrico}
}
\footnotesize{
\begin{verbatim}

lmSN=function(m,Y.vec,X,beta.ini,delta.ini,psi.ini,a,A,c,d,e,f,cut,lag){

# m é N° de iterações do algoritmo de gibbs
# Y.vec é o vetor aleatório t-assimétrico
# X é a matriz de planejamento do modelo

# beta.ini é o vetor de valores iniciais para Beta
# delta.ini é o valor inicial do parâmetro delta
# psi.ini é o valor inicial do parâmetro psi
# cut é a quantidade de observações descartadas no algoritmo de gibbs, de 1 à cut
# lag informa que serão guardadas apenas amostras geradas de lag em lag interações

#(a, A) são hiperparâmetros da priori de Beta, A é uma matriz pxp e a um vetor px1
#(c, d) são hiperparâmetros da priori de delta
#(e, f) são hiperparâmetros da priori de psi

if(cut<m && lag<m){
if(length(X[1,])==length(A[1,]) && length(X[1,])==length(a)
&& length(X[1,])==length(beta.ini) ){

library(msm)
library(mnormt)
n=length(Y.vec)

#Valores Iniciais
ti          = delta.vec = psi.vec = vector()
beta.mat    = matrix(NA,length(X[1,]),m+1)
beta.mat[,1] = beta.ini          # Beta
delta.vec   = delta.ini          # Delta
psi.vec     = psi.ini           # psi

for(i in 1:m){
# Passo 1 - Gerar ti i.i.d para i=1,...,n
mu.vec = X %>% beta.mat[,i]
mu.t   = ((Y.vec - mu.vec)*delta.vec[i] ) / ( delta.vec[i]^2 + 1/psi.vec[i] )
sig.t  = 1 / ( psi.vec[i] * (delta.vec[i]^2 + 1/psi.vec[i]) )
ti     = rtnorm(n,mu.t,sqrt(sig.t),lower=0,upper=Inf)

# Passo 2 - Gerar Beta
sig.beta      = solve(psi.vec[i]*t(X)%%X + solve(A))
mu.beta      = sig.beta%%(psi.vec[i] * (t(X)%%(Y.vec - delta.vec[i]*ti))
+ solve(A)%%a)

```

```

beta.mat[,i+1] = rmnorm(1,mu.beta,sig.beta)

# Passo 3 - Gerar Delta
mu.vec        = X %*% beta.mat[,i+1]
mu.delta      = ( sum((Y.vec - mu.vec) * ti) + (((1/psi.vec[i]) * c)/(d^2)))/
  ( sum(ti^2) + ((1/psi.vec[i])/(d^2)) )
sig.delta     = 1 / (psi.vec[i] * (sum(ti^2) + ((1/psi.vec[i])/(d^2))))
delta.vec[i+1] = rnorm(1,mu.delta,sqrt(sig.delta))

# Passo 4 - Gerar Psi
mu.vec        = X %*% beta.mat[,i+1]
v1.psi        = (e + n/2)
v2.psi        = (f + 1/2 * sum((Y.vec - (mu.vec + delta.vec[i+1] * ti))^2))
psi.vec[i+1] = rgamma(1,shape=v1.psi,rate=v2.psi)
}

l=list(BETA=t(beta.mat[,-(1:(cut+1))][,seq(1,m-cut,lag)]),
      delta=delta.vec[-(1:(cut+1))][seq(1,m-cut,lag)],
      psi=psi.vec[-(1:(cut+1))][seq(1,m-cut,lag)])
return(l)

}else{print("ERRO...Hiperparâmetros ou beta inicial com dimensões erradas")}
}else{print("ERRO!, cut ou lag são maiores que a quantidade de iterações")}
GS=lmsN(31000,Y.vec,X,beta.ini=c(0.5,-0.2,0.5),delta.ini=1,psi.ini=4,a=c(0,0,0),
      A=matrix(c(100,0,0,0,100,0,0,0,100),3,3),c=0,d=100,e=0.01,f=0.01,cut=1000,lag=5)

#Médias -----
beta.hat = colMeans(GS$BETA)
print(beta.hat)
delta.hat = mean(GS$delta)
print(delta.hat)
psi.hat = mean(GS$psi)
print(psi.hat)

omega2 = 1/psi.hat
sigma2 = omega2 + delta.hat^2
print(sigma2)
lambda = delta.hat/sqrt(omega2)
print(lambda)

OMEGA2 = 1/GS$psi
SIGMA2 =OMEGA2+ (GS$delta)^2
LAMBDA = GS$delta/sqrt(OMEGA2)

par(mfrow=c(2,3))

traceplot(mcmc(GS$BETA[,1]),ylab=expression(beta[1]))
traceplot(mcmc(GS$BETA[,2]),ylab=expression(beta[2]))
traceplot(mcmc(GS$BETA[,3]),ylab=expression(beta[3]))

```



```

traceplot(mcmc(LAMBDA),ylab=expression(lambda))
traceplot(mcmc(SIGMA2),ylab=expression(sigma^2))
}

```

## Algoritmo para as Condicionais Completas - Modelo t-assimétrico

```

lmST=function(m,Y.vec,X,v,beta.ini,delta.ini,psi.ini,a,A,b,c2,d,e,cut,lag){

# m é N° de iterações do algoritmo de gibbs
# Y.vec é o vetor aleatório t assimétrico
# X é a matriz de planejamento do modelo

#(a, A) são hiperparâmetros da priori de Beta, A é uma matriz p x p e a um vetor p x 1
#(c, d) são hiperparâmetros da priori de delta
#(e, f) são hiperparâmetros da priori de psi

# beta.ini é o vetor de valores iniciais para Beta
# delta.ini é o valor inicial do parâmetro delta
# psi.ini é o valor inicial do parâmetro psi
# cut é a quantidade de observações descartadas no algoritmo de gibbs, de 1:cut
# lag informa que serão guardadas apenas amostras geradas de lag em lag interções

if(cut<m && lag<m){
if(length(X[1,])==length(A[1,]) && length(X[1,])==length(a)
&& length(X[1,])==length(beta.ini) ){

library(msm)
library(mnormt)
n=length(Y.vec)

#Valores Iniciais -----
ti          = delta.vec = psi.vec = v2.psi = vector()
beta.mat    = matrix(,length(beta.r),m+1)
beta.mat[,1] = beta.r          # Beta
delta.vec   = delta.r          # Delta
psi.vec     = psi.r            # psi
s.vec = rgamma(n,v/2,v/2)      # s_i

for(i in 1:m){
# Passo 1 - Gerar ti i.i.d para i=1,...,n
mu.vec = X %*% beta.mat[,i]
mu.t   = ((Y.vec - mu.vec)*delta.vec[i]*psi.vec[i] ) /
( psi.vec[i]*delta.vec[i]^2 + 1)
sig.t  = 1 / ( s.vec * (psi.vec[i]*delta.vec[i]^2 + 1) )
ti     = rtnorm(n,mu.t,sqrt(sig.t),lower=0,upper=Inf)

# Passo 2 - Gerar Beta
sig.beta          = solve(psi.vec[i]*t(X)%*%diag(s.vec)%*%X + solve(A))
mu.beta           = sig.beta%*%(psi.vec[i]*t(X)%*% diag(s.vec) %*%

```

```

(Y.vec - delta.vec[i]*ti) + solve(A)%*%a)
beta.mat[,i+1] = rmnorm(1,mu.beta,sig.beta)

# Passo 3 - Gerar delta
mu.vec      = X %*% beta.mat[,i+1]
mu.delta    = (psi.vec[i]*c2*(sum(ti*s.vec*(Y.vec-mu.vec))+b))/
              (psi.vec[i]*c2*sum(s.vec*(ti^2))+1)
sig.delta   = c2/(psi.vec[i]*c2*sum(s.vec*(ti^2))+1)
delta.vec[i+1] = rnorm(1,mu.delta,sqrt(sig.delta))

# Passo 4 - Gerar si i.i.d para i=1,...,n
v1.s      = (2+v)/2
v2.s      = 0.5*(psi.vec[i]*((Y.vec - (mu.vec + delta.vec[i]*ti))^2)+ ti^2+ v)
s.vec     = rgamma(n,shape=v1.s,rate=v2.s)

# Passo 5 - Gerar psi
v1.psi    = (n+2*d)/2
v2.psi    = 0.5*sum(s.vec*((Y.vec - (mu.vec+delta.vec[i]*ti))^2))+e
psi.vec[i+1] = rgamma(1,shape=v1.psi,rate=v2.psi)
}
l=list(BETA=t(beta.mat[-(1:(cut+1))][,seq(1,m-cut,lag)]),
      delta=delta.vec[-(1:(cut+1))][seq(1,m-cut,lag)],
      psi=psi.vec[-(1:(cut+1))][seq(1,m-cut,lag)])
return(l)

}else{print("ERRO...Hiperparâmetros ou beta inicial com dimensões erradas")}
}else{print("ERRO!, cut ou lag são maiores que a quantidade de iterações")}

GS=lmST(31000,Y.vec,X,v=3,beta.ini=c(0.5,-0.2,0.5),delta.ini=1,psi.ini=4,a=c(0,0,0),
        A=matrix(c(100,0,0,0,100,0,0,0,100),3,3),b=0,c2=100,d=0.01,e=0.01,cut=1000,lag=5)

#Médias -----
beta.hat  = colMeans(GS$BETA)
print(beta.hat)
delta.hat = mean(GS$delta)
print(delta.hat)
psi.hat   = mean(GS$psi)
print(psi.hat)

omega2 = 1/psi.hat
sigma2 = omega2 + delta.hat^2
print(sigma2)
lambda = delta.hat/sqrt(omega2)
print(lambda)

OMEGA2 = 1/GS$psi
SIGMA2 =OMEGA2+ (GS$delta)^2
LAMBDA = GS$delta/sqrt(OMEGA2)

```

```

par(mfrow=c(2,3))

traceplot(mcmc(GS$BETA[,1]),ylab=expression(beta[1]))
traceplot(mcmc(GS$BETA[,2]),ylab=expression(beta[2]))
traceplot(mcmc(GS$BETA[,3]),ylab=expression(beta[3]))
traceplot(mcmc(LAMBDA),ylab=expression(lambda))
traceplot(mcmc(SIGMA2),ylab=expression(sigma^2))

#####
#REPARAMETRIZAÇÃO

omegar = 1/GS$psi
sigma2r = omega2 + (GS$delta)^2
lambdar = GS$delta/sqrt(omega2)

# Transformando a amostra em amostra MCMC
mcSN=mcmc(data.frame(GS$BETA[1,], GS$BETA[2,], GS$BETA[3,], sigma2r,lambdar))

#Obtendo os intervalos de credibilidade
HPDinterval(mcSN)
}}

```

## Referências

- Albert, J. (2009). *Bayesian Computation with R*. Springer, second edition.
- Azzalini, A. (1985). A class of distributions which includes the normal ones. *Scandinavian Journal of Statistics*, **12**, 171–178.
- Azzalini, A. (2010). *R package sn: The skew-normal and skew-t distributions (version 0.4-16)*. Università di Padova, Italia.
- Branco, M. D. & Dey, D. K. (2001). A general class of multivariate skew-elliptical distributions. *Journal of Multivariate Analysis*, **79**, 99–113.
- Celeux, G., Forbesy, F., Robert, C. P. & Titterington, D. (2006). Deviance information criteria for missing data models. *Bayesian Analysis*, **79**, 651–674.
- Henze, N. (1986). A probabilistic representation of the skew-normal distribution. *Scandinavian Journal of Statistics*, **13**, 271–275.
- R Development Core Team (2011). *R: A language and environment for statistical computing*. R Foundation for Statistical Computing, Vienna, Austria. ISBN 3-900051-07-0.